

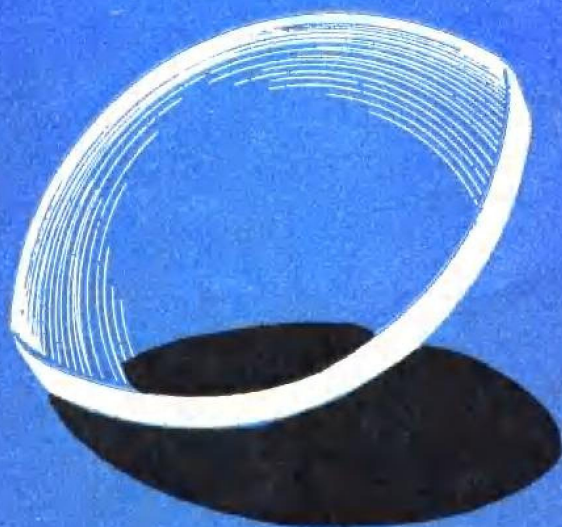


蔡立

田守信

编著

光学零件加工技术



华中工学院出版社

40.3

内 容 简 介

全书共分十五章，其主要内容有：光学材料；透镜的加工原理及理论基础，基本工艺方法，特别着重阐述了国内外七十年代以来出现的新工艺、新技术；高精度及特种零件的加工与检测方法；光学车间的组织与管理；工艺规程的编制等。

本书是高等院校“光学工艺及测试”专业本科生的必修课教材，也可作为业余大学、职工大学同类专业的教材，同时还是“光学仪器”专业的师生和从事光学生产的工程技术人员有益的参考书。

光学零件加工技术

蔡立 田守信 编著

责任编辑 常江南

华中工学院出版社出版

（昌黎家）

新华书店湖北发行所发行

华中工学院出版社鸿阳印刷厂印刷

开本：787×1092 1/16 印张：20 字数：445,000

1987年6月第1版 1987年6月第1次印刷

印数：1-1300

ISBN 7-5609-0005-4/TH·1

统一书号：15255—108 定价：3.34元

前　　言

《光学零件加工技术》一书，是作者在《光学零件冷加工技术》教材（国防工业出版社，1981年2月）的基础上，重新修订编著的。

在编著本书过程中，作者根据“光学工艺及测试”专业必设的“光学零件加工技术”这门课程的教学大纲的要求，总结了自己使用原教材的教学实践，本着教育要面向现代化、面向世界、面向未来的指导方针，对原教材内容作了较大的修改和增删。不仅广泛收集了国内外七十年代以来光学加工方面的新技术、新工艺以及有关的理论研究的文献资料，而且也总结并编入了作者近年的科研成果。因此，该书较全面地反映了当前国内外光学加工的水平。本教科书不仅系统地讲授了光学零件加工的基本工艺方法，而且加强了工艺理论的阐述，并注意理论联系实际。作者旨在使学生在学完本课程后，不仅能够胜任光学零件生产的技术工作，而且也为今后从事该学科领域的科研、教学和组织管理工作打下良好的基础。

本书在编著过程中，考虑到“光学工艺及测试”专业学生，在讲授本课程之前，通常要进行认识性生产实习，实习中还要讲授光学工艺的部分内容，同时，该专业还设有《光学机床》、《光学测量》、《光学镀膜技术》、《刻度和照相技术》等专业课，因此，凡与上述课程重复的内容，本书均未列入。

全书共十五章，由长春光学精密机械学院光学工程系光学工艺教研室蔡立同志主编，另外，田守信同志参加编写了第十一章、十二章和十三章。

本书敬请北京工业学院查立豫副教授主审，并由兵器工业部第一编审委员会“光学材料与光学工艺”编审小组审定。在此作者表示衷心感谢。

由于本书的编著时间仓促，特别是作者水平所限，书中缺点和错误在所难免，诚恳欢迎各位读者批评指正。

作　　者

符号规定一览表

A	——相对口径 (D/F) ;
A_p	——单个金刚石磨片的面积;
B	——光学零件表面疵病等级;
C	——透镜的中心偏差;
D	——透镜的口径 (磨边后的外圆直径);
D_0	——透镜的有效通光口径;
D_{0A}	——透镜 A 面的有效通光口径;
D_{0B}	——透镜 B 面的有效通光口径;
D_s	——标准样板的口径;
D_c	——零件粗磨完工后的口径;
D_{cm}	——粗磨模的口径;
D_{dm}	——倒角模的口径;
D_a	——工作样板的口径;
D_j	——镜盘的口径;
D_{jm}	——精磨模的口径;
D_{jt}	——抛光模基体的口径;
D_m	——磨轮中径;
D_{min}	——定心夹头的最小直径;
D_{pm}	——抛光模的口径;
D_{tm}	——贴置模的口径;
D_{zm}	——粘结模的口径;
D_x	——有色玻璃的光密度;
d	——透镜的中心厚度;
d_c	——零件粗磨完工的厚度;
d_j	——零件精磨完工的厚度;
dD_m	——磨轮中径的制造误差;
$d\alpha$	——磨轮角度调整误差;
E_x	——有色玻璃的吸收率;
f	——透镜的前焦距;
f'	——透镜的后焦距;
H_{cm}	——粗磨模的矢高;
H_{dm}	——倒角模的矢高;
H_j	——镜盘的矢高;
H_{jm}	——精磨模的矢高;
H_{jt}	——抛光模基体的矢高;
H_{pm}	——抛光模的矢高;
H_{zm}	——粘结模的矢高;

i	——入射角;
i'	——折射角;
l	——长度;
N	——零件与工作样板之间的光圈数;
N'	——镜盘上零件的总数;
N_B	——凸凹标准样板之间的光圈数;
N_a	——工作样板与标准样板之间的光圈数;
N_s	——零件精磨后所要求的光圈数;
n_o	——玻璃对红光 (c谱线 $\lambda = 0.6563\mu\text{m}$)的折射率;
n_d	——玻璃对黄光 (D谱线 $\lambda = 0.5893\mu\text{m}$)的折射率;
n_i	——玻璃对黄光 (d谱线 $\lambda = 0.5876\mu\text{m}$)的折射率;
n_F	——玻璃对蓝光 (F谱线 $\lambda = 0.4861\mu\text{m}$)的折射率;
q	——光学零件的气泡度;
q	——压强;
R	——透镜的曲率半径;
R_0	——非球面顶点的曲率半径;
R_1	——透镜第一表面的曲率半径;
R_2	——透镜第二表面的曲率半径;
R_c	——粗磨后透镜的曲率半径;
R_{cm}	——粗磨模的曲率半径;
R_{dm}	——倒角模的曲率半径;
R_j	——镜盘的曲率半径;
R_{jm}	——精磨模的曲率半径;
R_{jt}	——抛光模基体的曲率半径;
R_{pm}	——抛光模的曲率半径;
R_{tm}	——贴置模的曲率半径;
R_{tp}	——抛光模塑料贴片的曲率半径;
R_{vt}	——塑料贴片的叶片曲率半径;
R_{zm}	——粘结模的曲率半径;
S_p	——透镜的前截距;
$S'_{p'}$	——透镜的后截距;
T	——温度;
T_b	——玻璃热处理的上限温度;
T_f	——玻璃呈塑性的最低温度;
T_g	——玻璃呈脆性的最高温度;
t	——透镜的边缘厚度;
V_{E-M}	——玻璃与磨具的相对运动速度;
V	——线速度;
V_r	——相对速度;
Z	——磨具上磨片的数目;

- β ——放大倍率；
 β' ——相对速度系数；
 $\gamma_{\text{粗}}$ ——粗磨模的半张角；
 $\gamma_{\text{倒}}$ ——倒角模的半张角；
 γ_j ——镜盘的半张角；
 $\gamma_{\text{精}}$ ——精磨模的半张角；
 $\gamma_{\text{抛光基}}$ ——抛光模基体的半张角；
 $\gamma_{\text{抛光模}}$ ——抛光模的半张角；
 $\gamma_{\text{贴置模}}$ ——贴置模的半张角；
 $\gamma_{\text{粘结模}}$ ——粘结模的半张角；
 ΔD ——透镜磨边余量；
 ΔN ——局部光圈数；
 ΔR ——曲率半径的偏差；
 ΔR_c ——测量误差所造成的曲率半径的偏差；
 ΔR_s ——矢高制造误差所造成的曲率半径的偏差；
 ΔR_{N_b} ——标准样板光圈误差所造成的曲率半径的偏差；
 ΔR_{N_a} ——工作样板光圈误差所造成的曲率半径的偏差；
 ΔT ——温度梯度；
 ΔV ——金刚石磨具的磨耗体积；
 Δt ——透镜的边厚差；
 δ ——胶层的厚度；
 θ_1 ——第一光学平行差；
 θ_2 ——第二光学平行差；
 λ ——波长；
 μ ——摩擦系数；
 ν ——阿贝数；
 π ——尖塔差；
 τ_λ ——有色玻璃的透过率；
 φ ——定心角；
 ω ——角速度；
 ω_r ——相对角速度。

量和单位一览表

量的名称	单 位 名 称	单 位 符 号
长 度	千 米 米 厘 米 毫 米 微 米 毫微米	km m cm mm μ m nm
质 量	吨 千克(公斤) 克 毫克	t kg g mg
时 间	秒 分 〔小〕时 日(天)	s min h d
角	弧度 度 〔角〕分 〔角〕秒	rad ° ' "
速 度	米每秒 千米每小时	m/s km/h
角速度	弧度每秒	rad/s
转 速	转每分	min ⁻¹ 或r/min
力	牛〔顿〕	N
面 积	千平方米 平方米 平方分米 平方厘米 平方毫米	km ² m ² dm ² cm ² mm ²
体 积	立方米 立方分米〔升〕 立方厘米 立方毫米	m ³ dm ³ 〔L或l〕 cm ³ mm ³

续表

量的名称	单 位 名 称	单 位 符 号
摄氏温度	摄氏度	°C
粘 度	帕(斯卡)秒	Pa·s
波 长	毫微米 微米	nm μm

目 录

第一章 光学材料

§ 1-1 物质的玻璃态和玻璃的结构.....	(1)
§ 1-2 无色光学玻璃.....	(5)
§ 1-3 有色光学玻璃.....	(10)
§ 1-4 特种光学玻璃.....	(11)
§ 1-5 微晶玻璃.....	(13)
§ 1-6 光学晶体.....	(14)
§ 1-7 光学塑料.....	(18)
主要参考文献.....	(21)

第二章 光学零件加工的技术条件及工艺系统

§ 2-1 光学零件的设计基准及尺寸链.....	(22)
§ 2-2 光学零件图.....	(25)
§ 2-3 对光学玻璃的要求.....	(28)
§ 2-4 对光学零件的要求.....	(29)
§ 2-5 光学零件加工的工艺系统.....	(32)
主要参考文献.....	(34)

第三章 光学零件毛坯的生产

§ 3-1 熔炼玻璃的成型和退火.....	(35)
§ 3-2 块料毛坯的生产.....	(38)
§ 3-3 热压成型毛坯的生产.....	(40)
§ 3-4 棒料毛坯的生产.....	(43)
主要参考文献.....	(45)

第四章 粗 磨

§ 4-1 研磨的本质.....	(46)
§ 4-2 铣削加工原理.....	(49)
§ 4-3 磨料和磨具.....	(52)
§ 4-4 铣磨加工中工艺参数的选择.....	(56)
§ 4-5 铣削球面几何形状精度分析.....	(59)
§ 4-6 铣磨球面产生的表面疵病.....	(62)
主要参考文献.....	(64)

第五章 精 磨

§ 5-1 金刚石精磨机理及规律性.....	(65)
§ 5-2 球面金刚石磨具的余弦磨耗规律.....	(72)
§ 5-3 球面金刚石高速精磨工艺.....	(77)
§ 5-4 金刚石精磨中的冷却液.....	(86)

§ 5-5 精磨的表面结构.....	(90)
主要参考文献.....	(92)

第六章 抛光

§ 6-1 抛光机理.....	(93)
§ 6-2 样板检验原理.....	(97)
§ 6-3 中等精度光学零件的高速抛光.....	(108)
§ 6-4 抛光模层材料及抛光粉.....	(115)
§ 6-5 光学零件的腐蚀及抛光液pH值的控制.....	(122)
主要参考文献.....	(128)

第七章 透镜的定心磨边

§ 7-1 概述.....	(129)
§ 7-2 光学定心的原理.....	(130)
§ 7-3 机械定心的原理.....	(134)
§ 7-4 定心磨边工艺.....	(137)
主要参考文献.....	(141)

第八章 光学零件的胶合

§ 8-1 概述.....	(142)
§ 8-2 树脂胶合法.....	(142)
§ 8-3 光胶法.....	(149)
§ 8-4 透镜胶合定中心的原理及方法.....	(153)
主要参考文献.....	(154)

第九章 球面光学样板的加工

§ 9-1 样板的型式和尺寸.....	(155)
§ 9-2 球面样板的加工工艺.....	(158)
§ 9-3 球面样板的精度分析.....	(160)
主要参考文献.....	(166)

第十章 模具夹具的设计

§ 10-1 平面模具的设计.....	(167)
§ 10-2 球面镜盘的设计.....	(171)
§ 10-3 球面模具的设计.....	(175)
§ 10-4 棱镜研磨、抛光的夹具.....	(181)
§ 10-5 铣磨夹具的设计.....	(183)
主要参考文献.....	(188)

第十一章 高精度光学零件的加工

§ 11-1 概述.....	(189)
§ 11-2 高精度平面的加工与检测.....	(190)
§ 11-3 高精度棱镜加工与检测.....	(202)
主要参考文献.....	(207)

第十二章 非球面光学零件的加工

§ 12-1 概述.....	(208)
----------------	-------

§ 12-2 去除法加工非球面.....	(210)
§ 12-3 附加加工法加工非球面.....	(229)
§ 12-4 非球面的检验.....	(235)
主要参考文献.....	(238)

第十三章 特殊材料的光学零件的加工

§ 13-1 晶体光学零件的加工.....	(239)
§ 13-2 塑料光学零件的制造.....	(246)
§ 13-3 光学纤维的制造.....	(255)
§ 13-4 梯折透镜的制造.....	(258)
主要参考文献.....	(260)

第十四章 光学车间的组织与管理

§ 14-1 光学车间的组织与管理.....	(261)
§ 14-2 安全技术与工业卫生.....	(264)
§ 14-3 光学零件加工过程中的环境控制.....	(265)
主要参考文献.....	(269)

第十五章 光学零件工艺规程编制

§ 15-1 定位基准.....	(270)
§ 15-2 加工余量.....	(271)
§ 15-3 编制工艺规程的原则和步骤.....	(273)
主要参考文献.....	(308)

第一章 光学材料

光学零件是光学仪器最重要的组成部分，而光学材料是光学零件加工的对象，因此，了解其种类、性质以及与加工工艺性的关系，对于从事光学生产是十分必要的。

光学材料有光学玻璃（包括无色光学玻璃、有色光学玻璃和特种光学玻璃）、微晶玻璃、光学晶体和光学塑料等。其中，用于可见光范围内的光学玻璃，在光学仪器的制造中使用最多，绝大多数透镜、棱镜等光学零件，均由无色光学玻璃制成。因此，本章重点是光学玻璃。

§ 1-1 物质的玻璃态和玻璃的结构

一、光学玻璃的组成

光学玻璃和普通玻璃之间的主要区别是：光学玻璃具有高度的透明性、物理及化学上的高度均匀性以及特定和精确的光学常数。因此，现代光学玻璃不再象窗玻璃那样，仅仅由砂子、纯碱和石灰石 ($\text{SiO}_2-\text{Na}_2\text{O}-\text{CaO}$) 组成，而是含有元素周期表中的大部分元素，只是组合和含量不同而已。目前，光学玻璃的牌号已有数百种，这些光学玻璃是由玻璃多组分的（通常每种牌号玻璃有 4~10 种组分）不同配比而获得的。另外，也可利用个别组分的特高含量来得到不同光学常数的玻璃。

长时期以来，各国对于本国所生产的各种牌号玻璃的成分和工艺是严格保密的。一般来讲，玻璃的主要成分是二氧化硅 (SiO_2)，又称石英砂。它使得玻璃机械强度高、化学稳定性好、热膨胀系数小，但它的熔点太高（ 1700°C 以上），除非熔制特殊需要的石英玻璃，才单独使用石英砂。

通常熔炼玻璃都加入其它物质，以改善玻璃的性能和满足光学系统成像的需要。如加入氧化铝 (Al_2O_3)，能提高玻璃的化学稳定性和机械强度；加入氧化铅 (PbO) 和氧化钡 (BaO)，可以增大玻璃的折射率，但化学稳定性降低；加入氧化钠 (Na_2O)，虽然玻璃的化学稳定性和机械性能变差，但它可以降低熔炼温度。此外，根据需要还可以加入其它物质。

综上所述，玻璃是由多种氧化物组成的。查哈里阿生 (Zachariasen) 将玻璃中的各种氧化物分成两类：一类是能生成玻璃的，如 B_2O_3 、 AS_2O_3 、 SiO_2 、 Ta_2O_5 等，以上均属 A_2O_3 、 AO_2 和 A_2O_5 型氧化物，称这类氧化物为玻璃形成体，即构成玻璃网络体；另一类氧化物，如 Na_2O 、 K_2O 、 CaO 、 BaO 、 PbO 等，属于 A_2O 和 AO 型氧化物，它们不能生成玻璃的网络体，只是插入玻璃的网络结构中，构成网络外体，但能改变玻璃的性质。

玻璃中氧化物的组成不同，玻璃的结构和性质亦不同。因此，可以根据光学玻璃中，每类氧化物的百分比，初步断定光学玻璃的各种性能。例如，组成玻璃网络体的氧化物含量高，化学稳定性好；相反，组成网络外体的氧化物含量高，化学稳定性差。

各种氧化物对玻璃性质的影响如表1-1所示。

表 1-1 各种氧化物对玻璃性质的影响

名 称	减 小	增 大
二 氧 化 硅	比重、膨胀系数	化学稳定性，耐温性，机械强度，粘度
氧 化 铝	析晶能力(当加入2~5%时)	机械强度，化学稳定性，粘度
氧 化 硼	析晶能力，粘度，膨胀系数	化学稳定性，温度急变抵抗性，折射率
氧化钠和氧化钾	化学稳定性，耐温性，机械强度，结晶能力，硬度	膨胀系数
氧 化 镁	析晶能力，粘度(加入量达25%时)	耐温性，化学稳定性，机械强度
氧 化 钙	化学稳定性	比重、折射率、析晶能力
氧 化 铅	化学稳定性，硬度， v_D 值	折射率
氧 化 锌	膨胀系数	耐温性，化学稳定性，机械强度
氧 化 钙	耐温性	膨胀系数，硬度，化学稳定性，机械强度，析晶能力

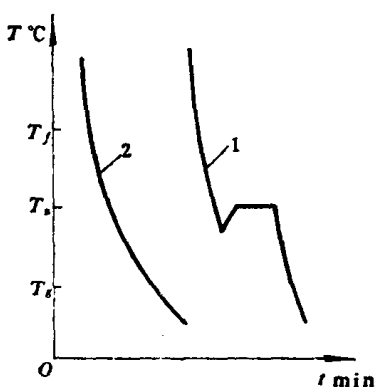
二、物质的玻璃态及其物理特性

(一) 物质的玻璃态

严格来讲，玻璃不是固体。玻璃熔融体在冷却过程中，虽不象固体那样有确定的固化温度，但随着粘度的增加，玻璃具有固体的机械性质。可是，由于熔融体迅速冷却，内部分子来不及规则排列就凝成固态，因此，玻璃保留了液态分子无规则排列的结构，即低温的固态保留了高温液态的无定性结构，称为玻璃态。人们常常称玻璃叫作过冷却液体就是这个道理。

图 1-1 表示了熔融体凝固的过程。它说明处于熔融状态的物质冷却时，可能生成结晶态或玻璃态(无定形态)。

图 1-1 中，曲线 1 表示熔融体在冷却过程中，降至熔点 T_f 温度时，会放出全部的熔化热，经过一段时间间隔，熔融体转变成结晶态，且晶体呈结晶态。曲线 2 表示熔融体冷却时，无确定的固化温度，潜在的热量没有全部放出，从而冷却成固态时，仍保留了高温的液态结构，生成无定形态，即分子无规则排列。玻璃则呈无定形态。



(二) 玻璃的物理特性

玻瑞除具有固体的机械性质和光学性能外，还具有以下物理特性：

1. 各向同性

玻瑞的性质，如硬度、弹性模数、折射率等，在各向测得的数值相等。它说明玻瑞虽属无定形态，内部质点排列是无序的，但它具有统计的均匀结构。因此，玻瑞是各向同性的。

2. 介稳状态

在一定条件下，物质可能处于相对稳定状态，但并不是能量最低储存状态，称为介稳状态。玻瑞熔融体冷却生成固态，并没有放出全部的潜在热，内部含有多余的内能储存，故玻

璃处于热力学的不稳定状态，即介稳状态。

按照能量转化的观点，高能状态有向低能状态转化的趋势。因此，从理论上讲，玻璃有转为晶体的内在条件，即由高能状态向低能状态转化。然而，玻璃体经过长期放置也无明显的结晶析出，这是由于玻璃粘度非常大，阻止它向晶体转化。

3. 玻璃从熔融态向固态转化过程是连续可逆的

玻璃从熔融态到机械固态，是在一个相当宽的温度范围内完成的，变化过程是连续的，没有固化点，只有固化温度范围。随着温度的降低，熔融体粘度愈来愈大，最后变成固态。

图1-1中， $(T_f - T_g)$ 称为固化温度范围，它随玻璃成分不同而异，此时玻璃呈粘滞状态。 T_f 为玻璃呈塑性的最低温度，即是玻璃拉成丝的最低温度，其粘度系数 $\eta = 10^8 \text{ Pa}\cdot\text{s}$ 。 T_g 为玻璃呈脆性的最高温度，即是玻璃退火的上限温度，此时玻璃的粘度系数 $\eta = 10^{12} \text{ Pa}\cdot\text{s}$ 。

玻璃由固态变成熔融态的过程与上相反，但也是连续的。玻璃加热到 T_g 温度时，失去脆性，逐渐产生粘滞状，继续加热至 T_f 温度，呈现流动的熔融体。

在上述连续可逆的变化过程中，玻璃的性质，如粘度、比热等也是连续可逆的。如图1-2所示。

三、玻璃的结构

关于玻璃的结构，近半个世纪以来，人们曾提出各种各样的假说，但由于涉及的问题比较复杂，到目前为止，尚未得到完善的、一致的结论，但比较流行的普遍承认的是“无规则网络学说”与“晶子学说”。

无规则网络学说，是1932年荷兰学者查哈里阿生提出的。该学说认为：玻璃的原子、离子或原子团之间的结合，构成一个连续的网络体，而网络体呈现出很大的不规则性。网络学说强调了玻璃结构的连续性、均匀性和无序性。

根据这个学说，可以描述玻璃的结构模型，并能解释玻璃一系列性质变化的规律。

(一) 熔石英玻璃的结构

按照网络学说，对一元体系的熔石英玻璃结构描述如下：每个硅原子与周围的四个氧原子组成硅氧四面体 $[\text{SiO}_4]$ ，各四面体之间通过顶角互相连接，形成向三度空间发展的网络结构。但其排列是无序的，而晶体石英的结构却是有序排列。

石英晶体与熔石英玻璃的结构模型如图1-3所示。

熔石英玻璃的化学组成和结构式如下：

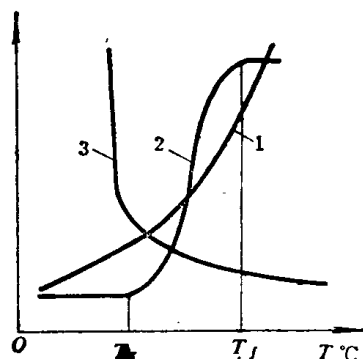
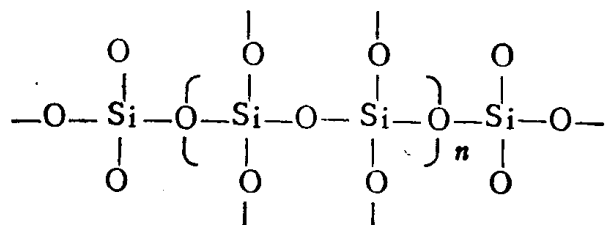


图1-2 玻璃的性质与温度的关系

1——比容；2——比热；

3——粘度

式中 n 表示网络体结构中，链重复的数目。由于熔石英结构中，只有Si—O键，而且键力平衡，结合牢固，因此熔石英玻璃具有较高的软化温度、化学稳定性、机械强度以及较低的热膨胀系数等特性。

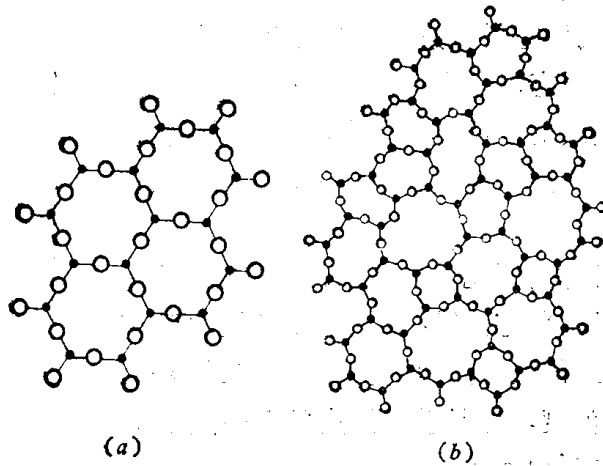


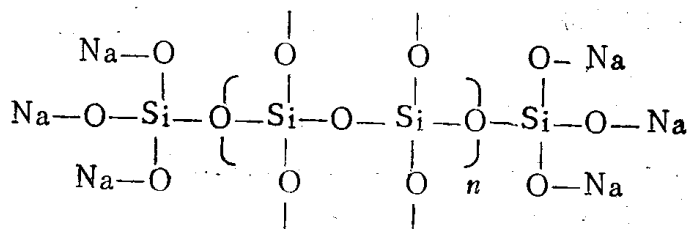
图1-3 石英晶体与熔石英玻璃的结构模型

(a) ——石英晶体；(b) ——熔石英玻璃

(二) $\text{Na}_2\text{O}-\text{SiO}_2$ 玻璃结构

二元体系的 $\text{Na}_2\text{O}-\text{SiO}_2$ 玻璃，是在熔石英玻璃中，加入碱金属氧化物(R_2O)或碱土金属氧化物(RO)，以使硅氧四面体 $[\text{SiO}_4]$ 组成的网络体断裂。在某些四面体之间的空隙中，均匀而无序地分布着碱金属和碱土金属的离子(R^+ 或 R^{++})。如图1-4所示。

$\text{Na}_2\text{O}-\text{SiO}_2$ 玻璃的化学组成和结构如下：



$\text{Na}_2\text{O}-\text{SiO}_2$ 玻璃，由于硅氧四面体连接处断裂，牢固的Si—O键被比较弱的R—O键所代替，致使玻璃结构松懈，性能降低。如果玻璃中碱金属氧化物含量愈多，硅氧键断裂愈多，则玻璃的化学稳定性和物理性能愈差。

查哈里阿生的观点，后来被瓦伦(Warren)的X射线结构分析数据所证实。所以，无规则网络学说又称为查哈里阿生—瓦伦学说，这一学说可以解释玻璃的各向同性、内部性质的均匀性和成分改变时玻璃性质变化的连续性等基本特性。因此，无规则网络学说，在长时间内成为玻璃结构学说的主要流派。

随着科学的发展，在对玻璃的性质及其结构进行更深入的研究中，人们积累了愈来愈多的关于玻璃内部结构不均匀性的资料，迫使人们重新认识查哈里阿生—瓦伦的一些观点。进而认为，现代玻璃结构理论，不仅要强调玻璃内部质

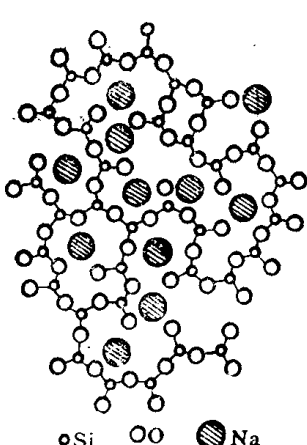


图1-4 $\text{Na}_2\text{O}-\text{SiO}_2$ 玻璃结构模型

点排列的连续性、均匀性和无序性，而且必须能够反映出玻璃的内部结构的另一方面，即近程有序和化学上不均匀性的方面。从而提出了关于玻璃结构的晶子学说。

晶子学说是苏联学者列别捷夫(Лебедев)于1921年首先提出的。他在研究光学玻璃退火时发现：玻璃折射率随温度变化的曲线在520°C附近折射率突然变化，如图1-5所示。

当时，列别捷夫把上述现象解释为：是玻璃中的石英“微晶”在520°C发生同质异晶转变的结果。以后，列别捷夫逐步完善了自己的学说，其要点归纳如下：玻璃是由无数“晶子”组成的。所谓“晶子”不同于一般的“微晶”，而是带有点阵变形的有序排列区域，它们分散在无定形介质中，并且从晶子区到无定形区的过渡是逐步完成的，两者间并无明显的界限。

列别捷夫的关于玻璃结构的晶子学说，也被几位学者的X射线结构分析数据所证实。与网络学说相比，晶子学说揭示了玻璃的另一方面的结构特征，即微不均匀性及近程有序性。但到目前为止，这个学说还有一系列重要的原则性问题尚未得到解决：其一，对玻璃中“晶子”的大小与数量尚有异议，但总的说来，由于晶子含量只占10~20%，而且大小为0.7~2nm，所以不能过分夸大晶子在玻璃中的作用和对性质的影响；其二，晶子的化学组成还没有得到合理的确定。

随着对玻璃结构研究认识的深入，两派学说的代表者，各自吸收了对方的合理部分，逐渐消除了原则分歧，提出了关于玻璃结构的无定形-晶子学说，即认为玻璃是具有近程有序（晶子）区域的无定形物质。

在玻璃结构理论的发展过程中，许多学者对玻璃结构的理解只是根据自己的部分试验结果，而这些试验结果仅反映了玻璃结构这个复杂问题的一个方面，因而其观点带有一定的片面性。玻璃结构的无序与有序、连续与不连续、均匀与不均匀是构成玻璃结构理论矛盾的两方面，它们同时存在于玻璃这个统一体中，而且在一定条件下，其中一方面可以起主导作用，并在玻璃的外部性质上突出地反映出来，当条件改变时，它可能为另一方面所替代。因此，关于玻璃结构的无规则网络学说和晶子学说也是对立统一的，从而形成了无定形-晶子结构学说。

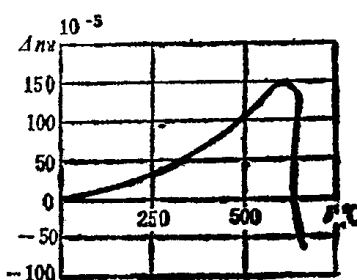


图1-5 玻璃折射率随温度变化曲线

§ 1-2 无色光学玻璃

一、光学玻璃的分类及命名

光学玻璃的品种繁多，其中绝大多数是无色光学玻璃，因此光学玻璃的分类及命名，主要指无色光学玻璃而言。

光学玻璃品种的发展，大致以本世纪四十年代为界限分为两个阶段。四十年代以前发展的玻璃，其光学常数的范围并不大，但品种数量很多，目前大多数光学系统仍在使用这些玻璃。这些玻璃的产量很大，占整个光学玻璃的80%，我们称它为常用光学玻璃，它们是以硅酸盐系统作为基础的。四十年代以后发展起来的玻璃，即新品种光学玻璃，其生产量逐步在增加。这些新品种光学玻璃，对于发展光学仪器日益重要，它们是以硼酸盐和磷酸盐系统作

为基础的玻璃，有的也引入磷酸盐和碲酸盐系统作为基础。上述常用光学玻璃和新品种光学玻璃都是氧化物玻璃。随着紫外和红外光学玻璃的发展，非氧化玻璃（主要是氟化物和硫、硒化合物玻璃）也成为新品种光学玻璃的一个重要部分。

光学玻璃的发展是与光学仪器的发展相互联系的，光学系统的改进往往取决于新型光学玻璃。如为了消除光学系统的色差，就需采用不同阿贝数的玻璃。因此，光学玻璃开始分为冕牌及火石玻璃两大类。后来，随着高级光学系统发展的需要，在每一大类内又分别发展出了若干小类。在进行光学设计时，选择玻璃的主要依据是折射率 n_d 和色散系数 v_d ，故光学玻璃即以 n_d （或 n_b ）和 v_d （或 v_b ）为其特征性质，构成光学玻璃 n_d-v 领域图，如图1-6所示。

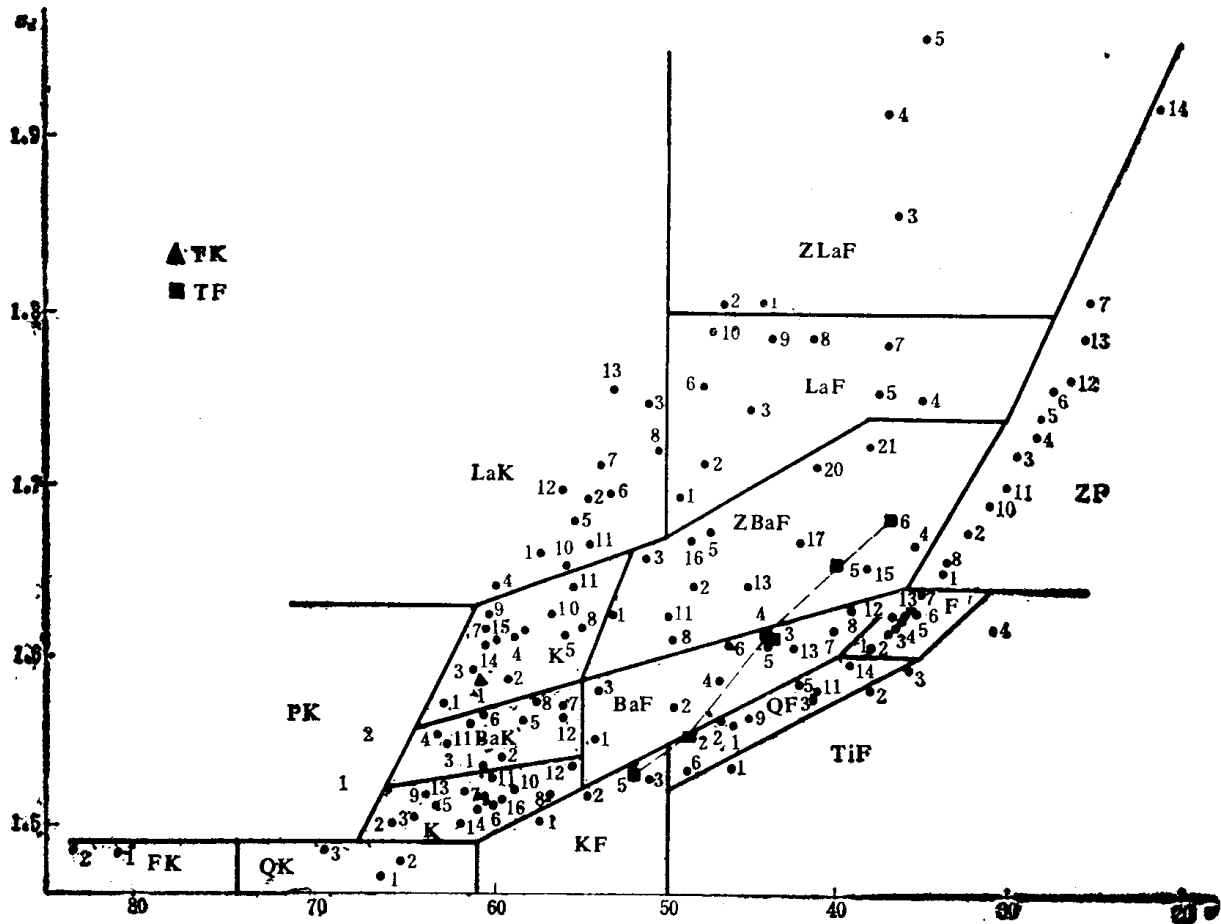


图1-6 光学玻璃 n_d-v 领域图

在 n_d-v 图中，不同玻璃处于不同的位置。按折射率及阿贝数的不同，将玻璃领域图分为若干区域，每一区域内都有折射率及阿贝数相差不远的若干玻璃。各区域内的玻璃统称为一类品种，品种是折射率及阿贝数相近玻璃的总称。每类品种包括的各具体玻璃称为牌号。每一光学玻璃牌号都有特定的折射率及阿贝数。

关于光学玻璃品种及牌号，各国或各制造单位都有自己的品种分类及牌号表示方法，但大都采用拉丁字母作为品种的标志，在品种标志之后附有牌号的标志。作为光学设计主要标志的折射率及阿贝数，各国或制造单位也稍有差异，有的用钠光谱d线（波长 $0.5876\mu\text{m}$ ）的折射率 n_d ，也有的用钠光谱D线（ $0.5893\mu\text{m}$ ）的折射率 n_b ，因而有相应的阿贝数 v_d 及 v_b 。根据我国光学玻璃的国家标准，采用拉丁字母表示品种，每一品种内的玻璃以阿拉伯数字表示序号，采用 n_d 及 v_d 作为折射率及阿贝数。